

UDK 625.72:528.486  
528.486:513.645  
Pregledni rad

## PRIMJENA S I J KRIVINE PRI TRASIRANJU PROMETNICA

Zdravko KAPOVIĆ — Zagreb\*

### UVOD

Najveći skok u razvoju cestovnog prometa nastao je koncem 19. st. pronalaskom automobila. Ceste su, od tada, svakim danom postajale sve moderne i sigurnije. Međutim u načinu odvijanja prometa zadržan je iskonski princip upravljanja vozilom »na vid«, tj. tako da vozač upravlja vozilom prema prometnoj situaciji. Vozač u svakom trenutku mora znati kuda kreće, pa i onda kada čitava vozna površina nije vidljiva. To se postiže zasađivanjem drvoreda uz cestu, vođenjem ceste uz rub šume i sl.

Posebno je važno optičko vođenje trase u slučaju prijelaza preko planinskih sedla ili vododjelnica, odnosno onda kada je zaobljenost nivelete konveksna. Jednom riječju, cesta treba biti takva da omogućava sigurnu i brzu vožnju. Prema tome, projektanti i graditelji prometnice nisu u potpunosti ispunili zadatku izgradnjom prometnice prema zahtjevima terena, već tek onda kada je postignuto to, da vozač vidi put onako kako treba, odnosno kada su mu osigurali preglednu dužinu za orientaciju.

Trasa ceste se, u položajnom smislu, sastoji od pravaca i krivina, a u vertikalnom, od uzdužnog profila — nivelete. Pravac je najkraća udaljenost, veza, između dviju točaka, ali je rijetko kada najkraći put. Kao element trasiranja lako se zamišlja, računa i crta i vrlo je pogodan za projektante i izvođače, ali manje za korisnike. Vožnja u dugačkim pravcima zamara vozača. Noću je veće zasljepljivanje svjetlima iz suprotног pravca i zbog toga se danas za moderne autoceste, trasa vodi u stalnoj zakrivljenosti tako da je preglednija i ljepša.

Krivine na cesti imaju zadatku da ostvare prijelaz vozila iz jednog pravca u drugi, a mnoštvom svojih oblika i veličina prilagođavaju se specifičnostima terena mnogo bolje nego pravci. Najjednostavniji oblik krivine je kružna krivina koja je određena svojim tangentama i radijusom, odnosno radijusom i vršnim ili centralnim kutom.

Zbog inercije svako vozilo nastoji zadržati pravocrtno gibanje. Da bi se vozilo u krivini »primoralо« na tu drugu vrstu kretanja, potrebno je:

— ili kolovozu dati poprečan nagib okomit na pravac kretanja

\* Adresa autora: Zdravko Kapović, dipl inž. Geodetski fakultet Zagreb, Kačićeva 26.

— ili sistemom upravljačkog mehanizma postići da se kotači vozila usmjeravaju zakоšeno prema pravcu tangente.

Ukoliko ne bi osigurali jedan od ova dva uvjeta, uslijed inercije, vozilo bi nastavilo kretanje tangencijalno.

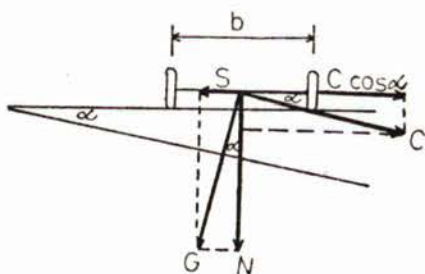


Slika 1

## PRELAZNE KRIVINE

Položaj vozila na ravnom dijelu ceste je horizontalan. Međutim, zbog odvodnje, cesta obično ima jednostrani pad pa su kotači vozila nejednako opterećeni.

Položaj vozila u krivini je gotovo isti kao na ravnom dijelu ceste, ali su zato uvjeti gibanja različiti.



Slika 2

$$C = \frac{G v^2}{g R} \quad \text{centrif. sila}$$

$G = m g$  — težina vozila

$m$  — masa vozila

$g$  — gravitacija

$\alpha$  — kut poprečnog nagiba vozila

Jedan dio centrifugalne sile  $C$  eliminira se poprečnim nagibom a razliku komponente  $S$  i komponente  $C \cos \alpha$ , koja djeluje suprotno, preuzima trenje.

Da bi vožnja bila sigurna mora biti zadovoljen uvjet

$$\mu (G \cos \alpha + C \sin \alpha) > (C \cos \alpha - G \sin \alpha)$$

gdje je  $\mu$  — koeficijent trenja

$(C \cos \alpha - G \sin \alpha)$  predstavlja radikalnu akceleraciju.

Radikalna akceleracija se, pri vožnji u krivini, osjeća kao bočni tlak. Na prelazu iz pravca direktno u kružnu krivinu javio bi se bočni udar. Prelaznica, odnosno prelazna krivina, ima zadatak da taj bočni udar na izvjesnu dužinu rastereti, odnosno da se bočni udar svede na bočni tlak koji se povećava lagano i bez skokova.

Na dionici prelaznice izvodi se i vitoperenje poprečnog profila tj. od poprečnog nagiba za vožnju u pravcu postupno se prelazi na odgovarajući

nagib kolozoza za vožnju u krivini. Time se smanjuje djelovanje centrifugalne sile pri vožnji u krivini.

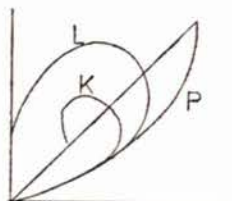
Dakle, prelazna rampa-dionica na kojoj se izvodi vitoperenje poprečnog profila, u pravilu se podudara sa prelaznom krivinom. Na istom potezu trase, prema potrebi, za manje radijuse zakriviljenosti, postupno se izvodi i proširenje kolozoza.

Umetanjem prelaznih krivina pri trasiranju cesta udovoljava se također psihološkim i estetskim zahtjevima vožnje. Vozač se postupno uvodi u uvjete vožnje kroz krivinu, a trasa, osobito na dužim prelaznicama, djeluje usklađenije i elastičnije.

Zakriviljenost prelaznica može se mijenjati linearно (prema zakonu pravca) ili nelinearno (prema zakonu neke krivulje). Prednost prelaznice čija se zakriviljenost mijenja nelinearno je u tome što je, odmak kruga potreban za umetanje prelaznice, upola manji nego u slučaju prelaznice s linearom zakriviljenosti. Međutim, prelaznici s linearom zakriviljenosti odgovara i prelazna rampa s linearom promjenom poprečnog nagiba, odnosno konstantnim uzdužnim nagibom, a takve prelazne rampe povoljnije su za izvođenje, održavanje i odvodnju.

U praksi su se, za prelazne krivine, udomaćile krivulje koje su u danom momentu najbolje odgovarale. Tako su se za željeznice počele koristiti, a i danas se primjenjuju, kubna parabola, dok se za ceste najviše primjenjuju klotoide i lemniskata.

- P — parabola
- L — lemniskata
- K — klotoida



Slika 3

Kako se iz slike 3 vidi sve se ove krivulje u najčešće korištenom dijelu, gotovo podudaraju.

Klotoida je spirala, s linearom promjenom zakriviljenosti, za koju je u svakoj točci

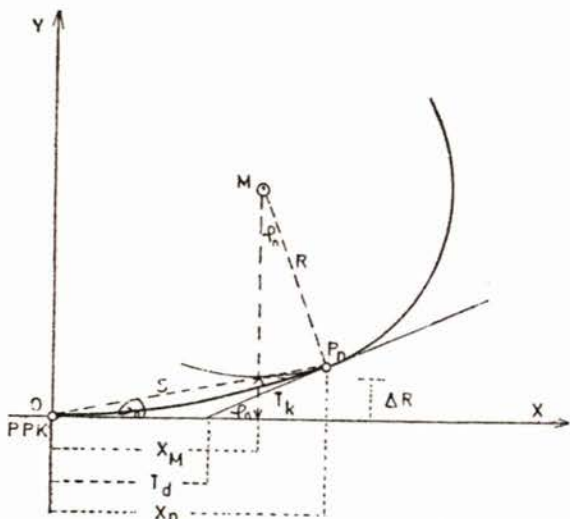
$$R \cdot L = \text{const.}$$



Slika 4

Kako se iz slike vidi klotoida može imati svaku željenu veličinu i sve su klotoide međusobno slične. Kao prelazna krivina primjenjuje se samo njezin početni relativno ispruženi dio.

Elementi klotoide:



- M — središte kružnog luka
- S — dužina tetine između početka i kraja klotoide
- $X_M Y_M$  — koordinate centra kruga luka
- R — veličina za koju je kr. luk odmaknut od tangente
- $T_d T_k$  — duža i krača tangenta

Slika 5

Veličine  $x$ ,  $y$ ,  $r$ ,  $l$ ,  $\sigma$ , jesu elementi jedinične klotoide. Najpoznatije tablice

Budući da su klotoide međusobno slične, parametar A predstavlja faktor za povećavanje ili smanjivanje. Pri tome kutni elementi ( $\sigma_n$  i  $\phi_n$ ) ostaju nepromjenjeni, a dužinski elementi — u linearnom odnosu s parametrom A. Uvezvi da je

$$A = l = a,$$

dobiva se klotoida čiji je parametar jedinica, odnosno jedinična klotoida. Njeni elementi označavaju se malim slovima

$$l \cdot r = a = 1.$$

Odnosi linearog elementa klotoide parametra A i odgovarajućeg elementa jedinične klotoide jesu:

$$\begin{array}{ll} X = x A & R = r A \\ Y = y A & \Delta R = \Delta r A \\ & L = l \cdot A. \end{array}$$

Veličina  $R L = A$  predstavlja linearni parametar klotoide. jedinične klotoide razradili su Kasper, Schürba, Lorenz — »Die Klotoide als Trasierungselement«.

Klotoida se primjenjuje u raznim kombinacijama:

- Klotoida kao prelaznica iz pravca u krug
- Klotoida kao prelaznica između dva pravca
- Košarasta klotoida (nanizivanje klotoida različitih parametara)
- Klotoida kao krivulja između dva kruga suprotnog smjera (S — krivina ili kontrakrivina)
- Klotoida kao prelaznica između dva kruga istog smjera (jajasta ili J — krivina).

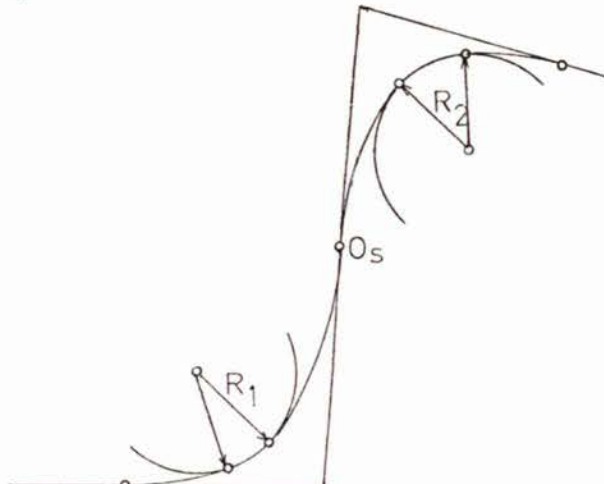
Pri trasiranju prometnica redovito se primjenjuje kombinacija klotoide s kružnim lukom. Najčešći oblik krivine pri prelazu iz jednog u drugi pravac trase jest niz: pravac—klotoida—kružni luk—klotoida—pravac. Za različite dužine klotoide to je osnovni oblik tzv. nesimetrična krivina s prelaznicama. Međutim, u suvremenom trasiranju cesta sve se više napušta pravac, odnosno trasa na sve većim potezima vodi u krivini. Na taj način sve se češće pojavljuju i složeniji oblici krivina.

Postupci računanja elemenata složenih oblika krivina redovito su takvi da se oni najprije svedu na osnovne oblike. Za osnovne oblike izračunavaju se dalje elementi iskolčenja glavnih točaka krivine, tj. zajedničkih (dodirnih) točaka pravca i klotoide, odnosno klotoide i kružnog luka. U dalnjem rješavanju se onda prelazi na iskolčenje detaljnijih točaka klotoide, odnosno kružnog luka.

Budući da je rješavanje osnovnih oblika krivina objašnjeno u postojećim udžbenicima, ovdje će se detaljnije razmotriti samo zadaci pri rješavanju oblika i to tzv. S-krivine i J-krivine. Međutim iz ranijeg izlaganja je vidljivo da će na taj način biti uključeni i oni osnovni oblici.

#### S — KRIVINA ILI KONTRAKRIVINA

Kao što je već napomenuto S-krivina spaja dva kružna luka suprotnih smjerova (sl. 7).

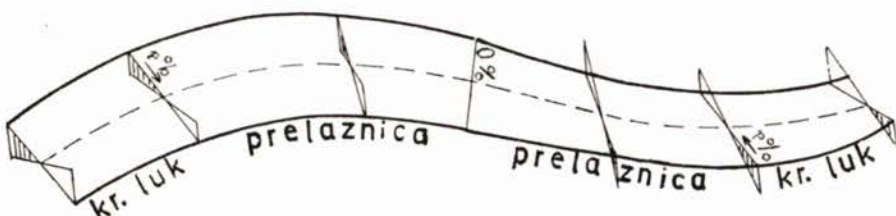


Slika 6

Kako se na slici vidi postoji niz: pravac—klotoida—krug—S—klotoida—kružni luk—klotoida—pravac. S-klotoida se sastoji iz dviju klotoida, najčešće različitih dužina ( $L_{1s} \neq L_{2s}$ ), a istog parametra  $A_s$ , koje se svojim nul točkama dodiruju u točki infleksije  $O_s$ .

Postaviti S-klotoidu između dva kružna luka suprotnih smjerova moguće je samo onda ako se krugovi ne dodiruju niti se sjeku, te ako nisu previše udaljeni.

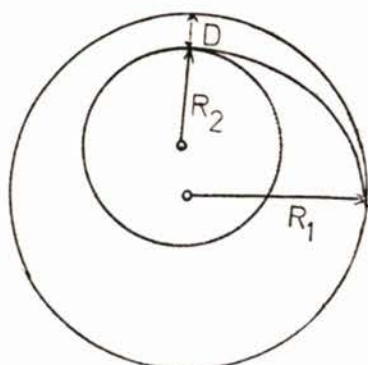
Pri prelazu iz lijeve u desnu krivinu ili obratno, poprečni se nagib okreće iz jednog smjera u drugi, dok je u točki infleksije ( $O_s$ ), i u njezinoj neposrednoj blizini, poprečni nagib jednak nuli (sl. 7).



Slika 7

#### JAJASTA ILI J — KLOTOIDA

J-klotoida nastaje povezivanjem dvaju krugova različitih radijusa, a istog smjera, kada krugovi leže jedan u drugom, ali nisu koncentrični niti se dodiruju (sl. 8).



Slika 8

Iz razmaka  $D$  i radijusa  $R_1$  i  $R_2$  proizlazi i parametar J-klotoide  $A_j$ , a ti odnosi definiraju i područje primjene jajaste klotoide. Najčešći slučajevi primjene

J-klotoide su kada je:  $D = \frac{A}{100}$

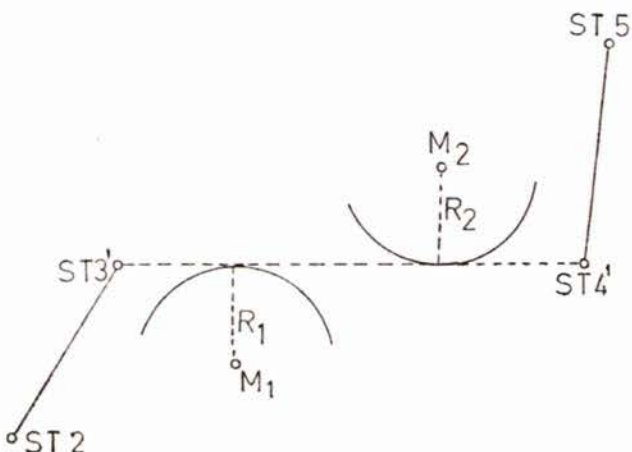
Vozna površina prelazi od manjeg poprečnog nagiba pri većem radijusu u veći poprečni nagib pri manjem radijusu (sl. 9).



Slika 9

#### PRIMJER RAČUNANJA ELEMENATA S — KLOTOIDE

Zadane su koordinate sjecišta tangentata ST<sub>2</sub>, ST<sub>3'</sub>, ST<sub>4'</sub>, ST<sub>5</sub> i elementi: R<sub>1</sub> L<sub>1</sub> R<sub>2</sub> L<sub>2</sub>



Slika 10

Pravac ST<sub>3'</sub>—ST<sub>4'</sub> je tangenta na kružne lukove radijusa R<sub>1</sub> i R<sub>2</sub>. Točkom ST<sub>2</sub> određen je početak trase.

Tangentu ST<sub>3'</sub>—ST<sub>4'</sub> treba zaokrenuti tako da između kružnih lukova bude umetnuta prelaznica oblika S-kloidoide istog parametra A.

- Odrediti elemente svih prelaznica
- Izračunati koordinate novih sjecišta tangentata ST<sub>3</sub> i ST<sub>4</sub>
- Izračunati koordinate glavnih točaka krivine i točaka tangencijalnog poligona

- d) Za hektometarske i glavne točke trase odrediti elemente ortogonalnog i polarnog iskolčenja od tangente  
 e) Iskazati koordinate hektometarskih točaka stacionaže.

*Rješenje zadatka*

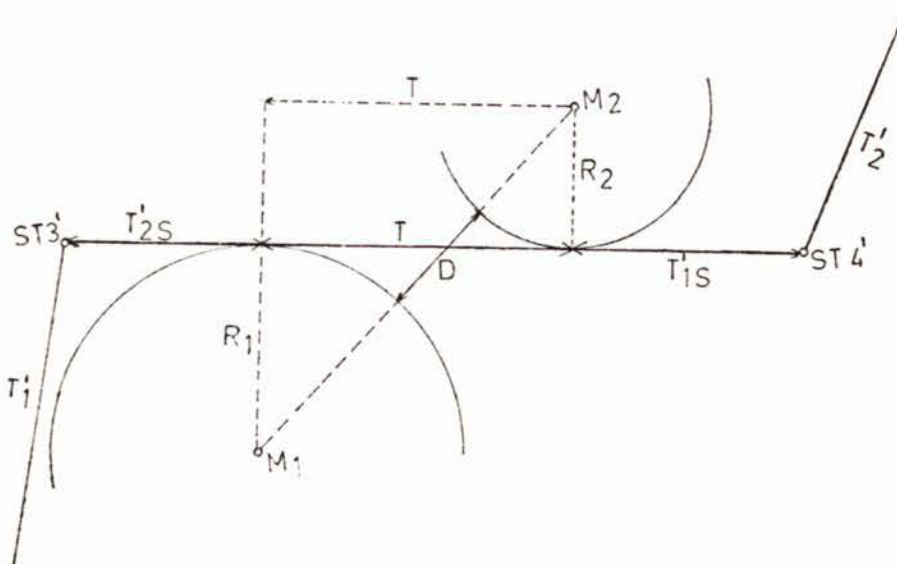
1. Smjerni kutovi glavnih tangenata i dužina između sjecišta tangenata računaju se prema trigonometrijskom formularu br. 8 po formulama:

$$\operatorname{tg} v_a^b = \frac{Y_b - Y_a}{X_b - X_a} = \frac{\Delta Y}{\Delta X} \quad d = \frac{Y}{\sin v_a^b} = \frac{\Delta X}{\cos v_a^b}.$$

2. Tangenta T i najmanja udaljenost između kružnih lukova D, (prema slici 11) dobivaju se po formulama

$$T = ST3' ST4' - (T'_{2s} + T'_{1s}),$$

$$D = \sqrt{(R_1 + R_2) + T^2} - (R_1 + R_2).$$



Slika 11

Dalje se računaju idući elementi:

**Krivina u točki' ST3'**

$$A_1 = \sqrt{R_1 L_1}$$

**Krivina u točki' ST4'**

$$A_2 = \sqrt{R_2 L_2}$$

Za korištenje tablica jedinične klotoide potrebno je izračunati ulazni argument

$$l_1 = \frac{L_1}{A_1}.$$

$$l_2 = \frac{L_2}{A_2}$$

Iz tabele jedinične klotoide, a na osnovi argumenata l, vade se:

$$\Delta r \text{ i } x_M$$

$$\Delta r \text{ i } x_M$$

Množeći ih s parametrom A dobiva se  $\Delta R$  i  $Y$  dotične klotoide

$$\Delta R = \Delta r A_1$$

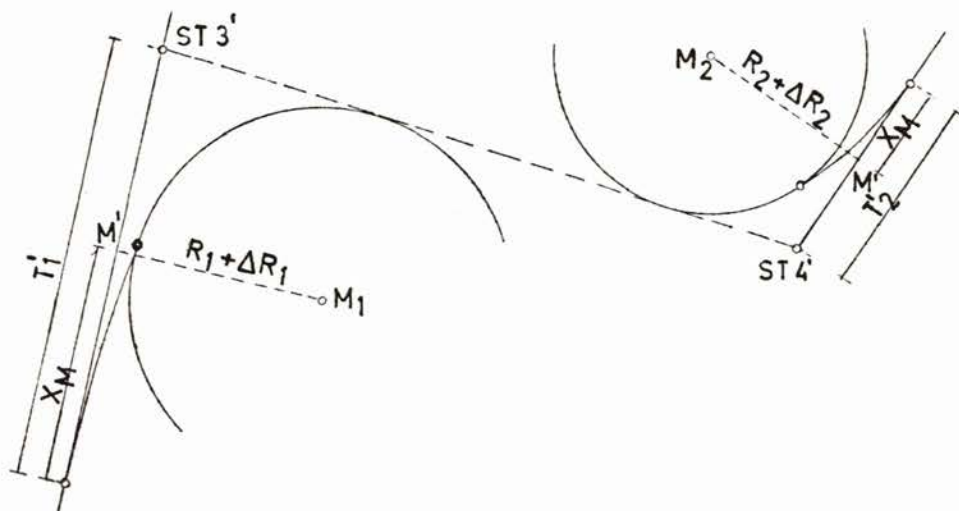
$$\Delta R = \Delta r A_2$$

$$X_M = x_M A_1$$

$$X_M = x_M A_2$$

Dužine tangente računaju se sada prema poznatim formulama za nesimetričnu krivinu (Janković: Inženjerska geodezija II str. 67, formule II,71 ili II,72) vodeći računa da je za krivinu kod ST3'  $\Delta R_2 = 0$  i  $X_{M_2} = 0$ , a za krivinu kod ST4'  $\Delta R_1 = 0$  i  $X_{M_1} = 0$ .

3. Koordinate centara kružnih lukova računaju se kao poligonski vlakovi: ST3' — M' — M<sub>1</sub> (za M<sub>1</sub>) i ST4' — M' — M<sub>2</sub> (za M<sub>2</sub>).



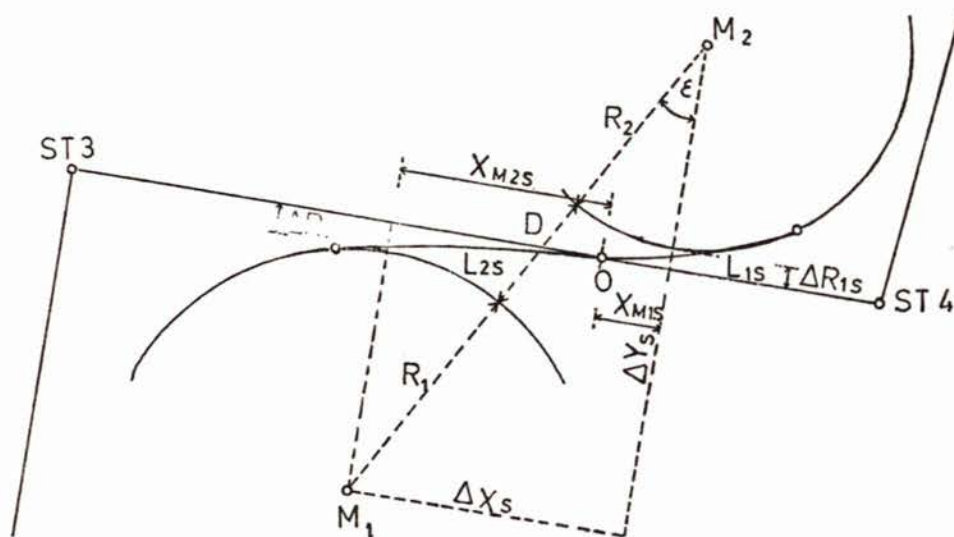
Slika 12

4. Iz sračunatih koordinata računa se udaljenost M<sub>1</sub> M<sub>2</sub> i smjerni kut  $\gamma_{M_1}^{M_2}$ . Za kontrolu računa se D.

$$D = M_1 M_2 - (R_1 + R_2).$$

5. Parametar S-klotoide može se izračunati na dva načina:

- a) Metodom postupnog približavanja



Slika 13

Prema slici parametar  $A_s$  mora zadovoljiti uvjete:

$$\sqrt{\Delta X_s^2 + \Delta Y_s^2} = M_1 M_2 = R_1 + R_2 + D,$$

gdje je

$$\Delta X_s = X_{M1s} + X_{M2s}, \quad \Delta Y_s = R_1 + \Delta R_{1s} + \Delta R_{2s} + R_2.$$

Prva približna vrijednost parametara  $A_s$  može se izračunati po formuli:

$$A_s = \sqrt{\frac{R_1 R_2}{R_1 + R_2} k_2 T}.$$

Koeficijent  $k_2$  vadi se iz pomoćnih tabela na osnovu argumenata  $\frac{R_2}{R_1}$  gdje je  $R_1 > R_2$ .

### I približavanje

Nakon računanja približne vrijednosti  $A_s$ , prema argumentima  $l_1$  i  $l_2$ , iz tabele jedinične klotoide uzimaju se  $\Delta r$  i  $x_M$ , pa množeći s parametrom  $A_s$  dobivaju se  $\Delta R$  i  $X_M$ . Iz tih vrijednosti računa se  $\Delta Y_s$  i  $\Delta X_s$ , odnosno  $\sqrt{\Delta X_s^2 + \Delta Y_s^2}$ . Ako je parametar točan bit će zadovoljen uvjet:

$$\text{Ima: } \sqrt{\Delta X_s^2 + \Delta Y_s^2} = \text{Treba: } M_1 M_2.$$

Ako taj uvjet nije zadovoljen, potrebno je vrijednost parametra povećati ili smanjiti za jedinicu i postupak ponoviti.

Kako vjerojatno ni u drugom približavanju neće biti zadovoljen uvjet

Ima = Treba, interpolacijom se dobiva konačna vrijednost parametra, a postupak se, radi kontrole, ponavlja.

b) Računanje parametra  $A_s$  pomoću tablica I i II (Kasper—Schürba—Lorenz)  
Izračunavaju se:

$$R = \frac{R_1 R_2}{R_1 - R_2},$$

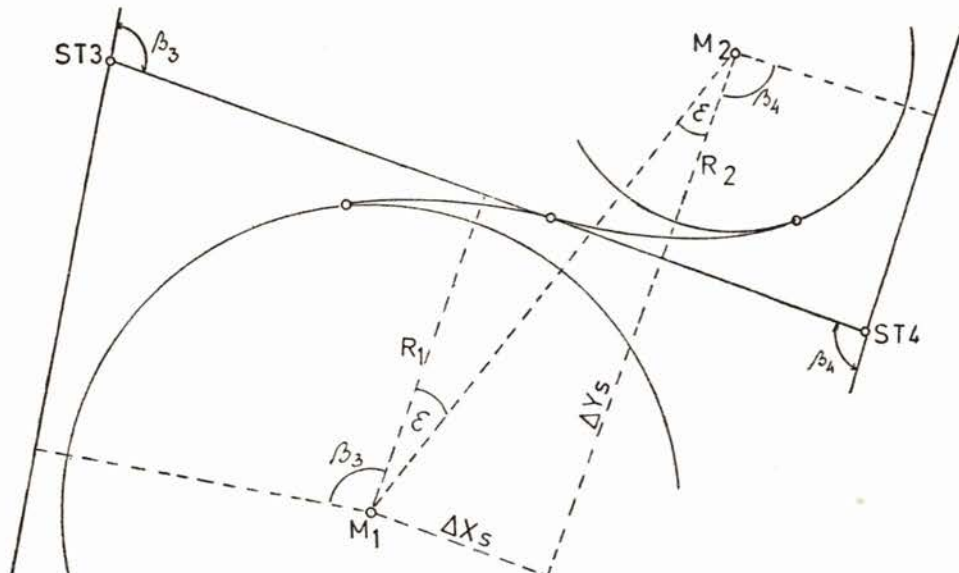
$$k = \frac{10 R}{R_1 - R_2},$$

$$\eta = \frac{D}{R}.$$

Iz tablice I, a na osnovi argumenta  $\eta$ , vadi se d, zatim izračuna  $\delta = \eta - kd$ , i iz tablice II, a na osnovi  $\delta$ , vadi se l i izračuna

$$A_s = R \cdot l$$

6. Računanje prelomnih kutova  $\beta_3$  i  $\beta_4$ .



Slika 14

Prema slici:

$$\tan \varepsilon = \frac{\Delta X_s}{\Delta Y_s}, \quad \beta_3 = v_{ST3}^{ST4} - v_{ST2}^{ST3'}$$

$$v_{ST3}^{ST4} = v_{M1}^{M2} - \varepsilon + 90^\circ, \quad \beta_4 = v_{ST3}^{ST4} - v_{ST4'}^{ST5}.$$

7. Iz tabela jedinične klotoide, na osnovi argumenta l, vade se elementi svih prelaznica i množeći ih s odgovarajućim parametrima dobivaju se elementi dotične klotoide.

$$\left( 1 = \frac{L}{A} \quad \sigma = \arctg \frac{X}{Y} \quad S = \sqrt{X^2 - Y^2} \right)$$

8. Dužine tangenata računaju se prema formulama za nesimetričnu krivinu.

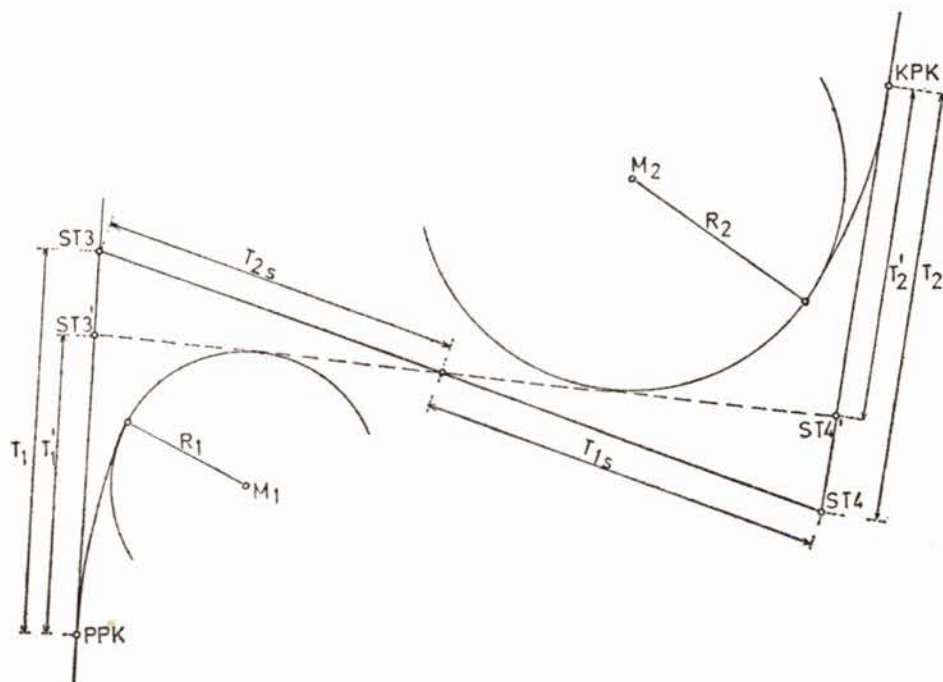
9. Koordinate točaka ST3 i ST4 računaju se iz poligonskog vlaka:

ST2—ST3—ST4—ST5

$$ST3 \ ST3' = T_1 - T_1' \quad ST2 \ ST3 = ST2 \ ST3' + ST3 \ ST3'$$

$$ST4 \ ST4' = T_2 - T_2' \quad ST3 \ ST4 = T_{1s} + T_{2s}$$

$$ST4 \ ST5 + ST4' \ ST5 + ST4 \ ST4'$$



Slika 15

10. Računanje elemenata za iskolčenje kružnih lukova

$$\text{Tangenta kružnog luka } T = R \tg \frac{\alpha}{2}$$

$$\text{Bisektrisa} \quad b = R (\sec \frac{\alpha}{2} - 1)$$

$$\text{Apscisa za SK} \quad X = R \sin \frac{\alpha}{2}$$

$$\text{Ordinata za SK} \quad Y = R \left( 1 - \cos \frac{\alpha}{2} \right)$$

$$\text{Dužina kružnog luka} \quad L = R \frac{\alpha \Pi}{180^\circ}$$

11. Računanje koordinata glavnih točaka trase i tangencijalnog poligona. Računa se kao poligonski vlek od ST2 do ST5.

Oznake:

ST — sjecište tangentata

pr — prelaznica

kr — kružni luk

ST(pr) — sjecište tangentata prelaznice (sjecište  $T_k$  i  $T_d$ )

ST(kr) — sjecište tangentata kružnog luka

PPK — početak prelazne krivine

KPK — kraj prelazne krivine

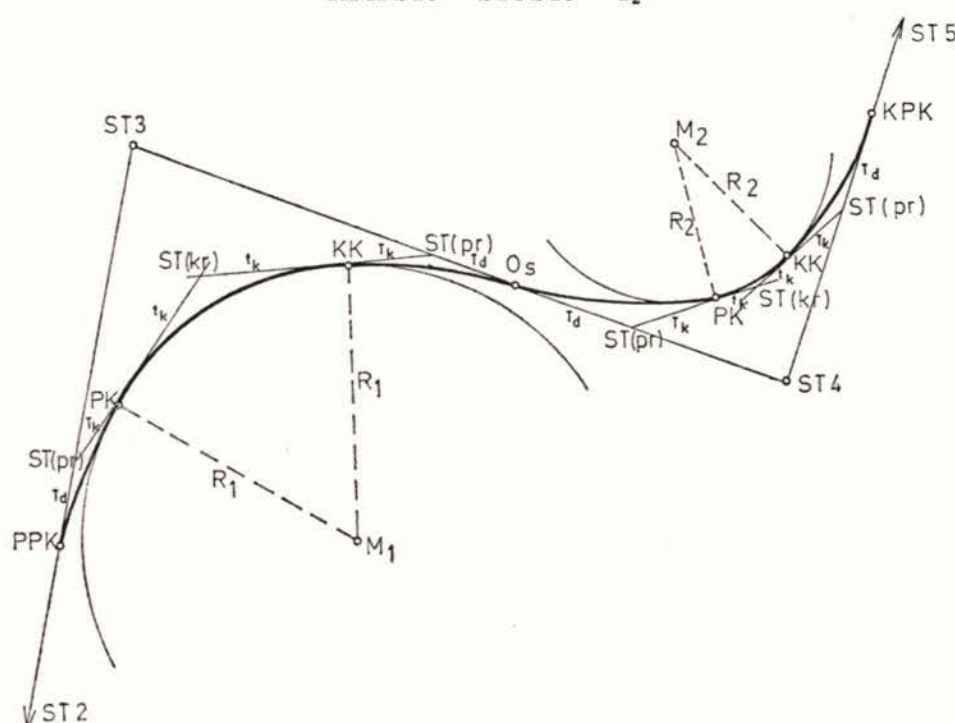
PK — početak kružnog luka

KK — kraj kružnog luka.

Za stacioniranje trase potrebne su dužine:

$$ST2 \text{ PPK} = ST2 \text{ ST3} - T_1$$

$$KPK \text{ ST5} = ST4 \text{ ST5} - T_2$$



Slika 16

12. Elementi za ortogonalno i polarno iskolčenje prikazuju se tabelarno, a formule su:

$$X = R \sin \delta \quad Y = R(1 - \cos \delta) \quad \sigma = \operatorname{arc} \operatorname{tg} \frac{Y}{X} \quad S = \sqrt{X^2 - Y^2}$$

13. Elementi za polarno i ortogonalno iskolčenje klotoide dobivaju se pomoću tabele jedinične klotoide, a na osnovi argumenta:

$$l = \frac{L}{A}$$

Iz tabele se izvode  $x$  i  $y$ , i množeći ih s parametrima, dobivaju se elementi  $X$  i  $Y$ , odnosno  $\sigma$  i  $S$ .

14. Koordinate glavnih i hektometarskih točaka trase u Gauss-Krügerovoj projekciji dobivaju se transformacijom koordinata iz sistema tangenata, prema formulama:

$$Y = Y_0 + (Y' \cos \epsilon - X' \sin \epsilon)$$

$$X = X_0 + (X' \cos \epsilon - Y' \sin \epsilon)$$

Ovdje su:

$Y_0, X_0$  — koordinate ishodišta

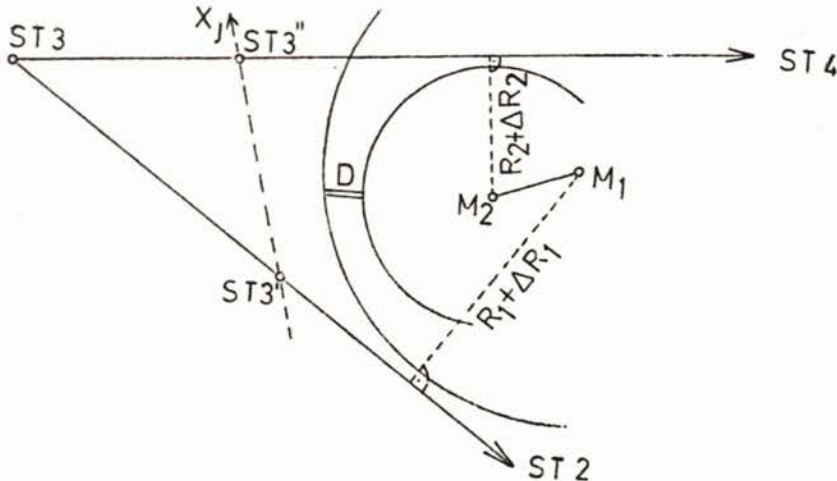
$Y, X$  — koordinate točaka u sistemu tangenata

$\epsilon$  — kut zaokreta koordinatnih sistema.

#### RAČUNANJE ELEMENATA J KLOTOIDE

Projektom su date koordinate sjecišta tangenata ST2, ST3, ST4, između kojih je projektirana složena krivina: klotoida—kružni luk—J—klotoida—kružni luk—klotoida.

Zadano je:  $R_1, A_1, R_2, L_2$  i  $D$ .



Slika 17

Treba odrediti: elemente svih prelaznica, koordinate sjecišta ST3 i ST4 glavne tangente J-klotoide, iskazati koordinate hektometarskih točaka stacionaže, koordinate glavnih točaka trase i tangencijalnog poligona i elemente ortogonalnog i polarnog iskolčenja s tangente.

#### Rješenje zadatka

1. Smjerni kutovi  $v_{ST2}^{ST3}$ ,  $v_{ST3}^{ST4}$  i dužine ST2 ST3, ST3 ST4, računaju se prema poznatim formulama (trig. formular br. 8).

2. Parametar J-klotoide ( $A_j$ ) može se izračunati na dva načina:

a) Računanje parametara pomoću tablica II i III: »Die Klotoide als Trasierungselement« Kasper-Schürba-Lorenza.

Izračuna se:

$$R = \frac{R_1 R_2}{R_1 - R_2},$$

$$k = \frac{R_1}{R_1 - R_2},$$

$$\eta = \frac{D}{R}.$$

Iz tablice II uzima se d, a zatim se izračuna

$$\delta = \eta + k d.$$

Sada se u tablici II nađe l (na osnovi argumenata  $\delta$ ), pa će traženi parametar biti:

$$A_j = R l.$$

U većini slučajeva vrijednost parametra  $A_j$  će se moći »zaokružiti«. S tom novom veličinom parametara, računa se i nova vrijednost:

$$l = \frac{A_j}{R}.$$

Ovoj promjeni odgovara i mala promjena veličine D.

b) Računanje parametra  $A_j$  metodom postupnog približavanja  
Prema slici, parametar  $A_j$  treba zadovoljavati uvjet

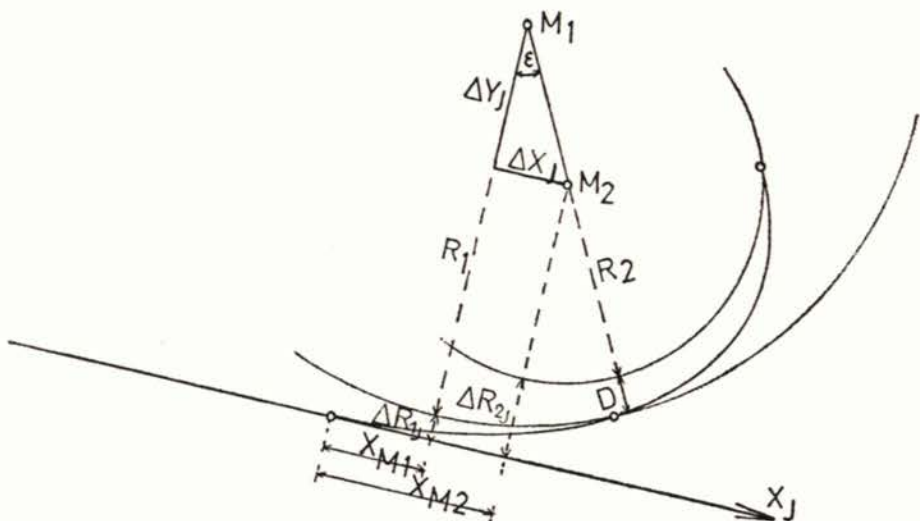
$$M_1 M_2 = \sqrt{\Delta Y_j^2 + \Delta X_j^2} = R_1 - R_2 - D = \text{TREBA}$$

Računa se srednji radius:

$$R_m = \frac{2 R_1 R_2}{R_1 + R_2},$$

pomoćni kut:

$$\cos \alpha_m = \frac{R_m - (R_2 + D)}{R_m - R_2}.$$



Slika 18

Približna dužina prelaznice koja spaja dva kružna luka ( $L_j$ ) računa se po formuli:

$$L_j = k R_m \hat{\alpha}_m.$$

Cijela dužina klotoide (sa dijelom koji se ne koristi) je:

$$L_{2j} = \frac{R_1}{R_1 - R_2} L_j.$$

Tada je prva približna vrijednost parametra:

$$A_j = R_2 L_{2j}.$$

Sada se iz tablica jedinične klotoide, a na osnovu argumenata

$$l_1 = \frac{A_j}{R_1} \quad i \quad l_2 = \frac{A_j}{R_2}$$

nađu vrijednosti:  $\Delta r_1$ ,  $x_{M1}$ ,  $\Delta r_2$  i  $x_{M2}$ , pa ih množeći s parametrom  $A_j$ , dobivamo vrijednosti:  $\Delta R_1$ ,  $X_{M1}$ ,  $\Delta R_2$  i  $X_{M2}$ .

Budući da je prema slici 18:

$$\Delta Y_j = (R_1 + \Delta R_{1j}) - (R_2 + \Delta R_{2j}),$$

$$\Delta X_j = X_{M2} - X_{M1},$$

računa se:

$$\sqrt{\Delta Y_j^2 + \Delta X_j^2} = IMA.$$

Ako je parametar točan, bit će zadovoljen uvjet  $IMA = TREBA$ . Budući da prva približna vrijednost parametra  $A_j$  obično nije pogrešna više od cijele

jedinice, računa se drugo približavanje s parametrom koji je promijenjen za jedinicu.

Budući da ni u drugom približenju nije zadovoljen uvjet  $IMA = TREBA$ , interpolacijom između prvog i drugog približenja dobiva se definitivna vrijednost parametra  $A_j$ . Radi kontrole računanje se ponavlja.

Ukoliko je, umjesto minimalne udaljenosti između kružnih lukova D, zadana dužina prelaznica između dva kružna luka ( $L_j$ ), točna vrijednost parametra  $A_j$  računa se po formuli:

$$A_j = \sqrt{\frac{R_1 R_2}{R_1 - R_2} L_j}.$$

3. Poznavajući parametre, radijuse i dužine prelaznice te koristeći tablice jedinične klotoide računaju se elementi svih prelaznica. (na osnovi argumenta 1)

Pri tome je:

$$R L = A^2, \quad 1 = \frac{A}{R},$$

$$\tau = \frac{L}{2R},$$

$$\sigma = \operatorname{arc} \operatorname{tg} \frac{Y}{X}, \quad S = \sqrt{Y^2 + X^2}.$$

4. Računaju se, ili su već dobiveni, slijedeći elementi:

$$\Delta Y_j = (R_1 + \Delta R_{1j}) - (R_2 + \Delta R_{2j})$$

$$\Delta X_j = X_{M2j} - X_{M1j} \quad \operatorname{tg} \epsilon = \frac{\Delta X_j}{\Delta Y_j}$$

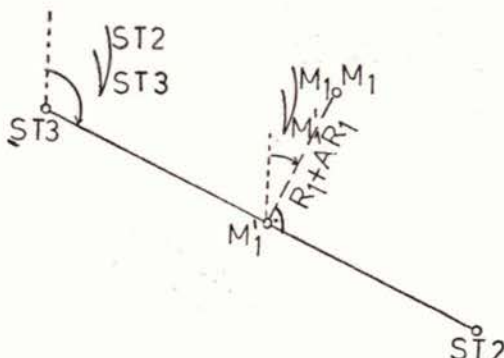
$$M_1 M_2 = \sqrt{\Delta Y_j^2 + \Delta X_j^2}$$

Kontrola:

$$D = R_1 - M_1 M_2 - R_2$$

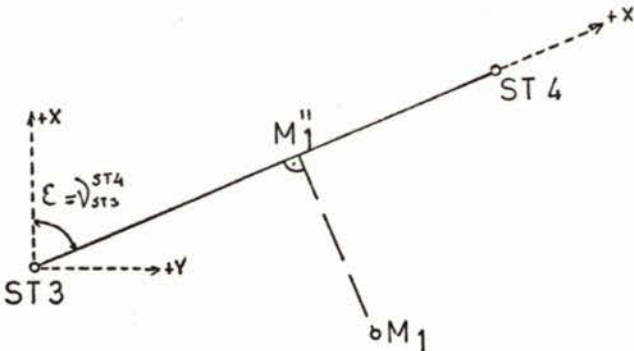
5. Koordinate središta kružnog luka  $M_1$  mogu se izračunati na dva načina:

- a) Pomoću poligonskog vlaka
- b) Kao mala točka na okomici



Slika 19

6. Dužine strana ST3 M<sub>1</sub>'' i M<sub>1</sub>M<sub>1</sub>'' računaju se transformacijom koordinata M<sub>1</sub> na tangentu ST3 ST4.



Slika 20

Formule transformacije su:

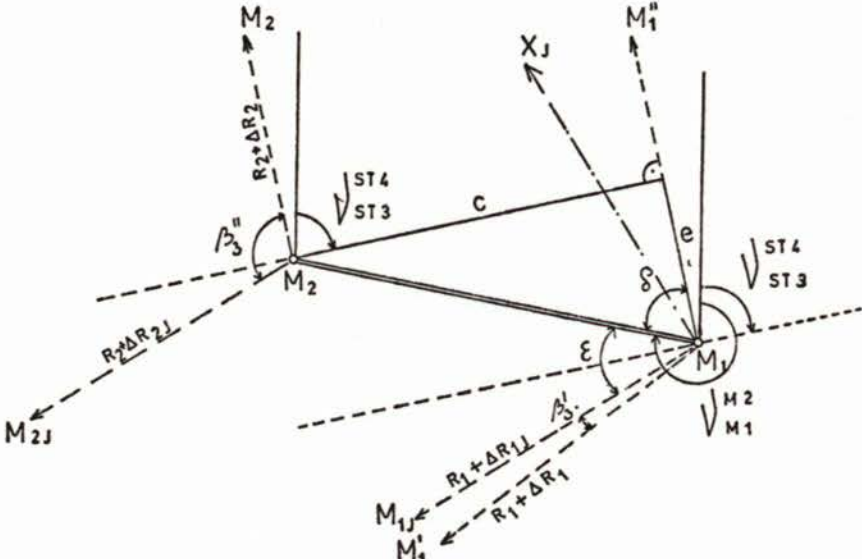
$$\begin{aligned} M_1 M_2 &\equiv Y = (Y_{M_1} - Y_{ST3}) \cos \varepsilon - (X_{M_1} - X_{ST3}) \sin \varepsilon, \\ ST3 M_1 &\equiv X = (Y_{M_1} - Y_{ST3}) \sin \varepsilon + (X_{M_1} - X_{ST3}) \cos \varepsilon. \end{aligned}$$

7. Da se dobiju prijelomni kutovi β<sub>3'</sub>, β<sub>3''</sub>, β<sub>3</sub> u sjecištima tangenta potrebno je:

— Riješiti pravokutni trokut s hipotenuzom M<sub>1</sub>M<sub>2</sub>

$$e = M_1 M_1'' - (R_2 + \Delta R_2), \quad c = \sqrt{(M_1 M_2)^2 - e^2}, \quad \tan \delta = \frac{c}{e} \quad \text{ili}$$

$$\cos \delta = \frac{e}{M_1 M_2}.$$



Slika 21

Izračunati:  $v_{M_1}^{M_2} = v_{ST3}^{ST4} + 270^\circ - \delta$ .

Izračunati smjerni kut glavne tangente

$$v_{X_j} = v_{M_1}^{M_2} - \varepsilon + 90^\circ.$$

Razlikom smjernih kutova dobivaju se prijelomni kutovi

$$\beta'_3 = v_{X_j} - v_{ST2}^{ST3},$$

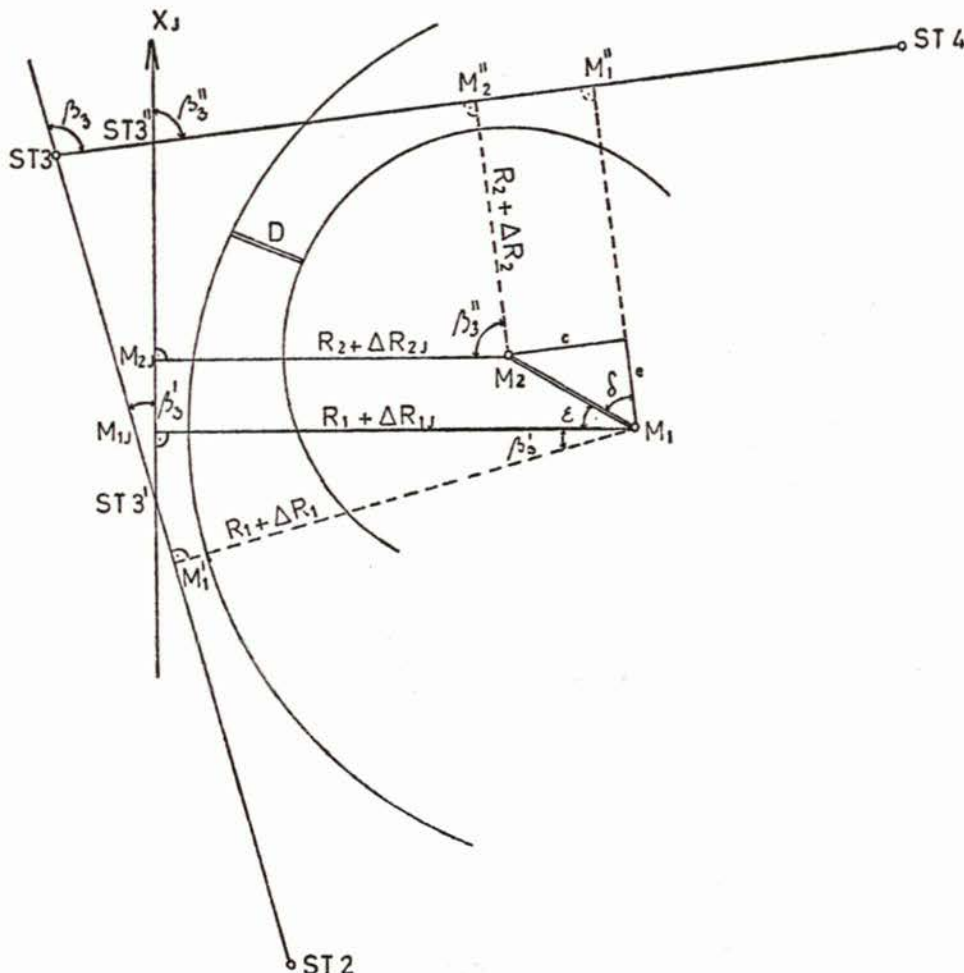
$$\beta''_3 = v_{ST3}^{ST4} - v_{X_j},$$

$$\beta_3 = v_{ST3}^{ST4} - v_{ST2}^{ST3}.$$

Kontrola:

$$\beta'_3 + \beta''_3 = \beta_3$$

8. Prema poznatim formulama za nesimetričnu krivinu računaju se udaljenosti  $ST3'M'_1$  i  $ST3'M_{1j}$ , kao i  $ST3''M_{2j}$  i  $ST3''M''_2$



Slika 22

$$ST3' M'_1 = U - W \quad ST3' M_{1J} = U + W$$

$$U = Z \operatorname{tg} \frac{\beta}{2} \quad W = \frac{V}{\operatorname{tg} \frac{\beta}{2}} \quad Z = R + \frac{\Delta R_1 + \Delta R_2}{2} \quad V = \frac{\Delta R_1 + \Delta R_2}{2}$$

9. Dužine  $ST3 ST3'$ ,  $ST3 ST3''$ ,  $ST3' ST3''$  dobivaju se rješavajući trokut  $ST3 ST3' ST3''$  (dužina  $ST3 M_1$  je zadana)

$$ST3 ST3' = ST3 M'_1 - ST3' M'_1$$

$$ST3 ST3'' = ST3 ST3' \frac{\sin \beta'_3}{\sin \beta''_3}$$

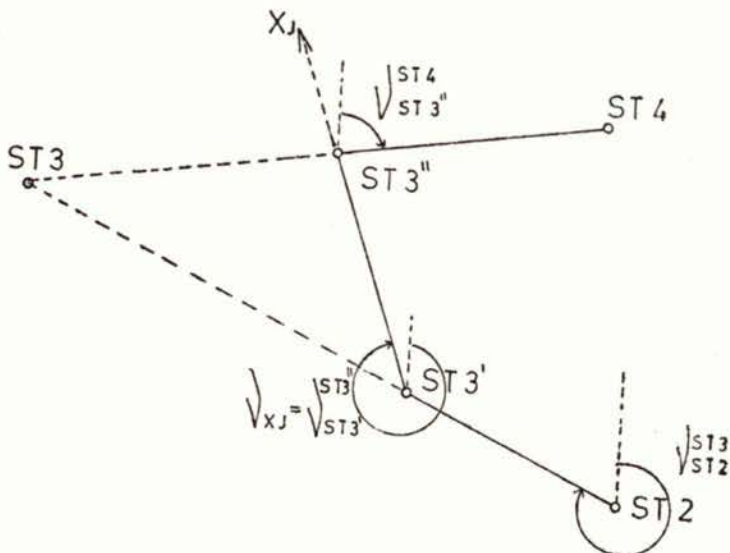
$$ST3' ST3'' = ST3 ST3' \frac{\sin \beta_3}{\sin \beta''_3}$$

10. Kontrole:

$$ST3' M_{1J} + \Delta X_J + ST3'' M_{2J} = ST3' ST3''$$

$$ST3 M''_1 - (ST3'' M''_2 + c) = ST3 ST3''$$

11. Koordinate sjecišta tangenta  $ST3'$  i  $ST3''$  računaju se iz poligonskog vlaka  $ST2 - ST3 - ST3'' - ST4$ .



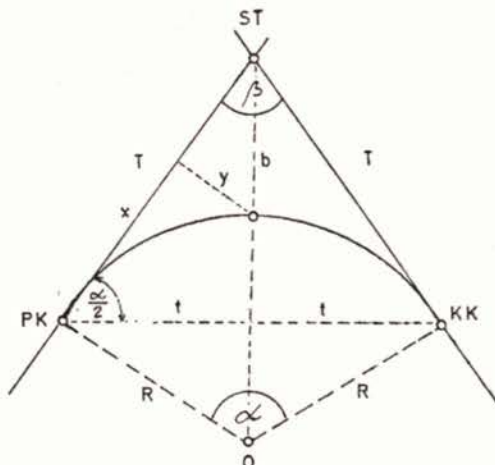
Slika 23

12. Dužine BE i EC (koje će biti potrebne za računanje tangencijalnog poligona) dobiju se:

$$BE = \frac{(T_{L2J} - T_{L1J}) \sin \tau_{2J}}{\sin (\tau_{2J} - \tau_{1J})} - T_{K1J}$$

$$EC = T_{K2J} - \frac{(T_{L2J} - T_{L1J}) \sin \tau_{1J}}{\sin (\tau_{2J} - \tau_{1J})}$$

13. Prema poznatim formulama računaju se glavni elementi kružnih lukova



Slika 24

Tangenta  $t_k = R \operatorname{tg} \frac{\alpha}{2}$

Bisektrisa  $b = R (\sec \frac{\alpha}{2} - 1)$

Apsica za SK  $X = R \sin \frac{\alpha}{2}$

Ordinata za SK  $Y = R \left( 1 - \cos \frac{\alpha}{2} \right)$

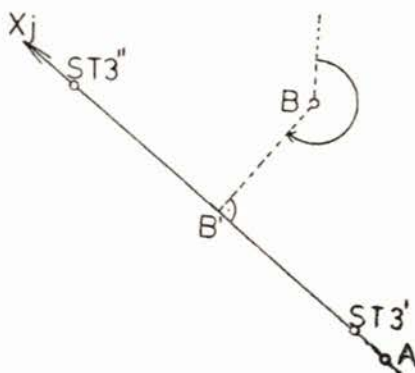
Dužina kružnog luka  $L = R \frac{\alpha \Pi}{180^\circ}$

14. Koordinate glavnih točaka trase i tangencijalnog poligona računaju se iz poligonskog vlaka od ST2 do ST4. Sve dužine poligonskih strana su poznate osim:

$$ST2 PPK = (ST2 ST3') - (ST3' M'_1) - X_{M1}$$

$$KPK ST4 = (ST3'' ST4) - (ST3'' M''_2) - X_{M2}$$

15. Koordinate točke A (početak J-klotoida) računa se iz poligonskog vlaka B—B'—A.



Slika 25

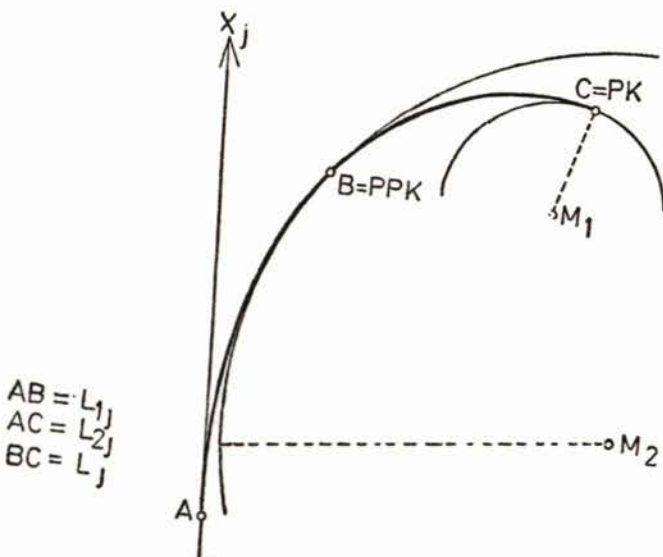
$$\nu_{B'}^{B'} = \frac{ST3''}{ST3'} - 90^\circ,$$

$$B B' = Y_{1j},$$

$$B' A = X_{1j}.$$

16. Elementi za iskolčenje klotoide se računaju pomoću tablica jedinične klotoide. Na osnovu argumenta  $l = \frac{L}{A}$  iz tablica se izvade elementi x i y, množeći ih s parametrom A, dobiju se elementi X i Y za iskolčenje s tangente.

Računajući elemente X i Y za J-klotoidu, argument je  $l = \frac{L'}{A}$ ,  $L' = L + L_{ij}$  ( $L_{ij}$  je dio klotoide koji se ne koristi).



Slika 26

## LITERATURA

- [1] Janković M.: Inženjerska geodezija I, Tehnička knjiga, Zagreb 1966.
- [2] Janković, M.: Inženjerska geodezija II, Tehnička knjiga, Zagreb 1966.
- [3] Kasper—Schurba—Lorenz: Die Klotoide als Trassierungselement, Dummlers Verlag, Bonn 1968.
- [4] Lorenz, H.: Projektovanje i trasiranje puteva i autoputeva, IRO Građevinska knjiga, Beograd 1980.
- [5] Macarol, S.: Praktična geodezija, Tehnička knjiga, Zagreb, 1961.
- [7] Fućan, M., V. Sajko: Ceste, Tehnička enciklopedija, Knjiga 2, Zagreb 1966.

## SAŽETAK

U ovom članku detaljno su razmotreni zadaci pri rješavanju i iskolčenju složenijih oblika krivina i to tzv. S-krivine i J-krivine pomoću tabela jedinične klotoide.

## ZUSAMMENFASSUNG

Im Aufsatz sind Aufgaben bei Auflösung und Absteckung zusammen gesetzten Kurven sogenannten S (Wendelinie) und J (Ei-Linie) mit hilfe der Einheitsklotoiden Tafel näher betrachtet.

Primljeno: 1981-11-13